

# Stokes 3D sobre una superficie que contiene el campo electrico en todo momento.

Sea  $\vec{E}(\vec{r}, z)$  un campo cualquiera, se pueden considerar su parte real e imaginaria por separado

$$\vec{E}(\vec{r}, z) = \vec{A}(\vec{r}, z) + i\vec{B}(\vec{r}, z) \quad (1)$$

Se puede demostrar que existen dos vectores  $\vec{P}(\vec{r}, z)$  y  $\vec{Q}(\vec{r}, z)$  ortogonales entre sí que vienen dados por

$$\vec{P}(\vec{r}, z) = \cos[\alpha(\vec{r}, z)] \cdot \vec{A}(\vec{r}, z) + \sin[\alpha(\vec{r}, z)] \cdot \vec{B}(\vec{r}, z) \quad (2)$$

$$\vec{Q}(\vec{r}, z) = \cos[\alpha(\vec{r}, z)] \cdot \vec{B}(\vec{r}, z) - \sin[\alpha(\vec{r}, z)] \cdot \vec{A}(\vec{r}, z) \quad (3)$$

donde

$$\tan[2\alpha(\vec{r}, z)] = \frac{2 \vec{A} \cdot \vec{B}}{|\vec{A}|^2 - |\vec{B}|^2} \quad (4)$$

Entonces  $\vec{P}$  i  $\vec{Q}$  y  $\vec{N} = \vec{P} \times \vec{Q}$  son un conjunto de tres vectores ortogonales en cada punto del haz. El campo puede escribirse como

$$E_P = \frac{\vec{E} \cdot \vec{P}}{|\vec{P}|} = |\vec{P}| e^{i\alpha} \quad (5)$$

$$E_Q = \frac{\vec{E} \cdot \vec{Q}}{|\vec{Q}|} = i |\vec{Q}| e^{i\alpha} \quad (6)$$

$$E_N = 0 \quad ; \quad \forall (\vec{r}, z) \quad (7)$$

Es decir, el campo está contenido en el plano  $PQ$  y  $\vec{N}$  es la normal a dicho plano. Entonces, el campo será, por lo general, elípticamente polarizado referido a los ejes  $\vec{P}$  i  $\vec{Q}$ . Notese que  $\vec{A} \times \vec{B} = \vec{P} \times \vec{Q}$

Se puede demostrar que los parametros de Stokes del campo  $\vec{E}$  en cada punto, y referidos a dicho plano  $PQ$  pueden calcularse como

$$S_0(\vec{r}, z) = |\vec{E}(\vec{r}, z)|^2 = |\vec{A}(\vec{r}, z)|^2 + |\vec{B}(\vec{r}, z)|^2 \quad (8)$$

$$S_1(\vec{r}, z) = \frac{|\vec{A}(\vec{r}, z)|^2 - |\vec{B}(\vec{r}, z)|^2}{\cos[2\alpha(\vec{r}, z)]} \quad (9)$$

$$S_2(\vec{r}, z) = 0 \quad (10)$$

$$S_3(\vec{r}, z) = 2 |\vec{A}(\vec{r}, z) \times \vec{B}(\vec{r}, z)| \quad (11)$$

# 1. Campo incidente circularmente polarizado

Se ensaya con el siguiente campo incidente circularmente polarizado a derechas

$$\vec{E}_S^{circ}(\theta, \varphi) = \frac{1}{\sqrt{2}} g_c(\theta) (1, i) \quad (12)$$

donde

$$g_c(\theta) = \frac{\exp\left\{-\frac{\sigma(\cos\theta - \bar{\alpha})}{2(1-\alpha_0)^2}\right\}}{\pi\sqrt{\cos\theta}(1 + \cos\theta)} \quad (13)$$

Se estima el campo en el plano focal gracias al método de 'phase retrieval' [cita al SciRep].

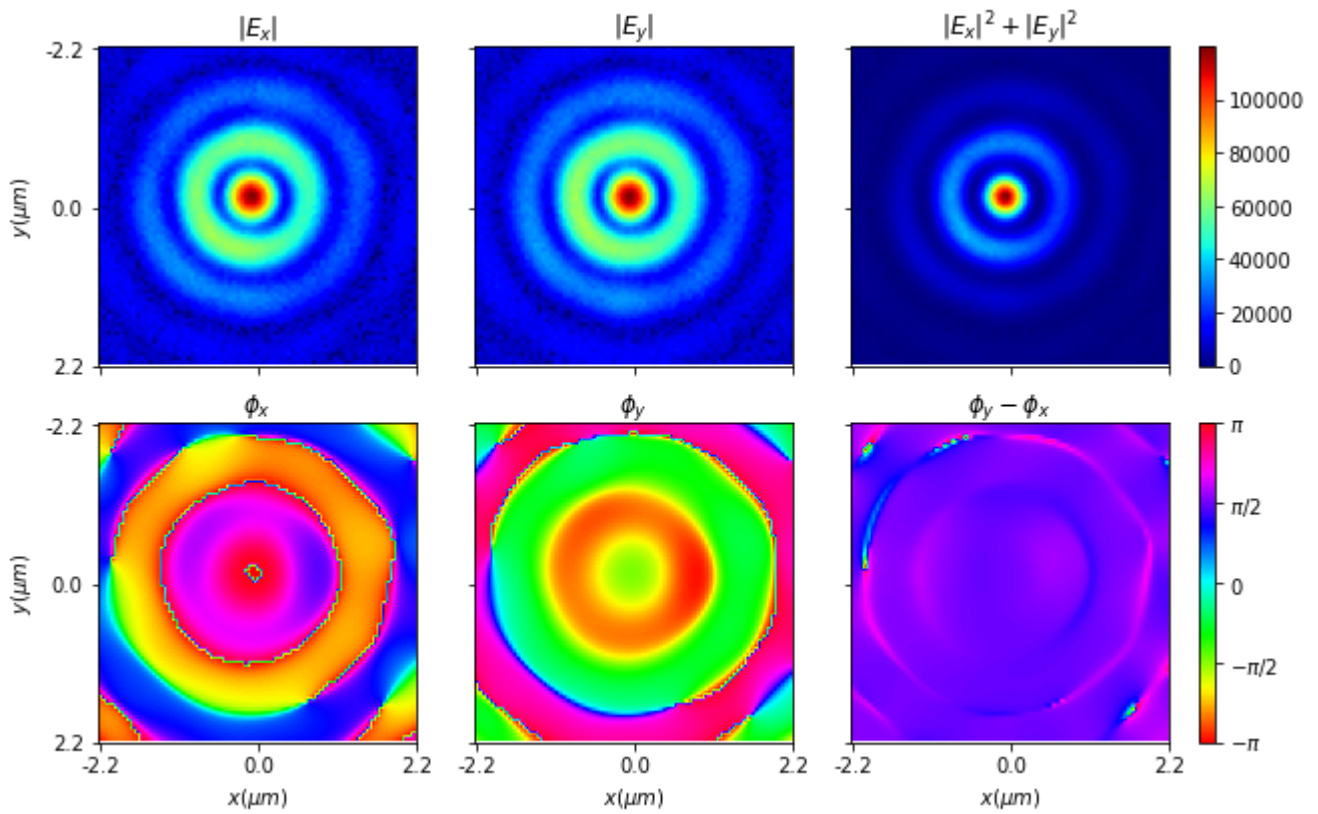


Figure 1: (Pol. Circular) Campo transversal en el plano focal, medido experimentalmente

A continuación, estimamos el campo longitudinal en el plano focal calculado a través de [cita al SciRep]

$$E_z(\vec{k}_\perp; z = 0) = \mathcal{F}^{-1} \left[ -\frac{\vec{k}_\perp \cdot \mathcal{F} \left\{ \vec{E}_\perp(\vec{k}_\perp; z = 0) \right\}}{k_z} \right] \quad (14)$$

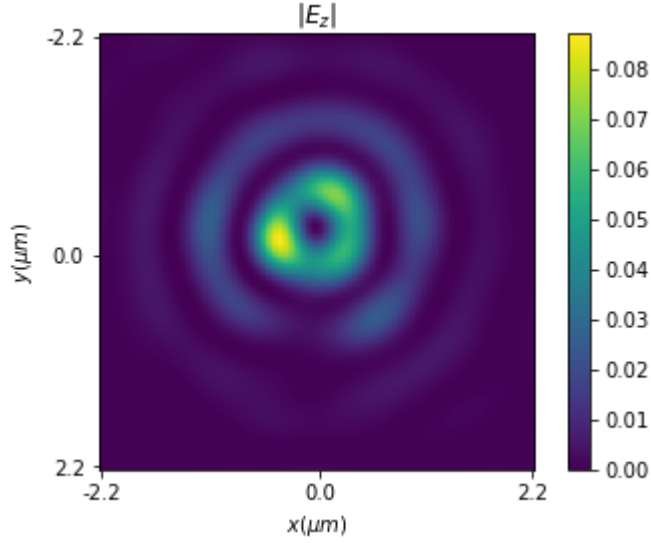


Figure 2: (Pol. Circular) Amplitud de la componente longitudinal en el plano focal.

Calculamos los parametros de Stokes según las ecuaciones de (8) a (11) y mostramos los resultados en la siguiente figura

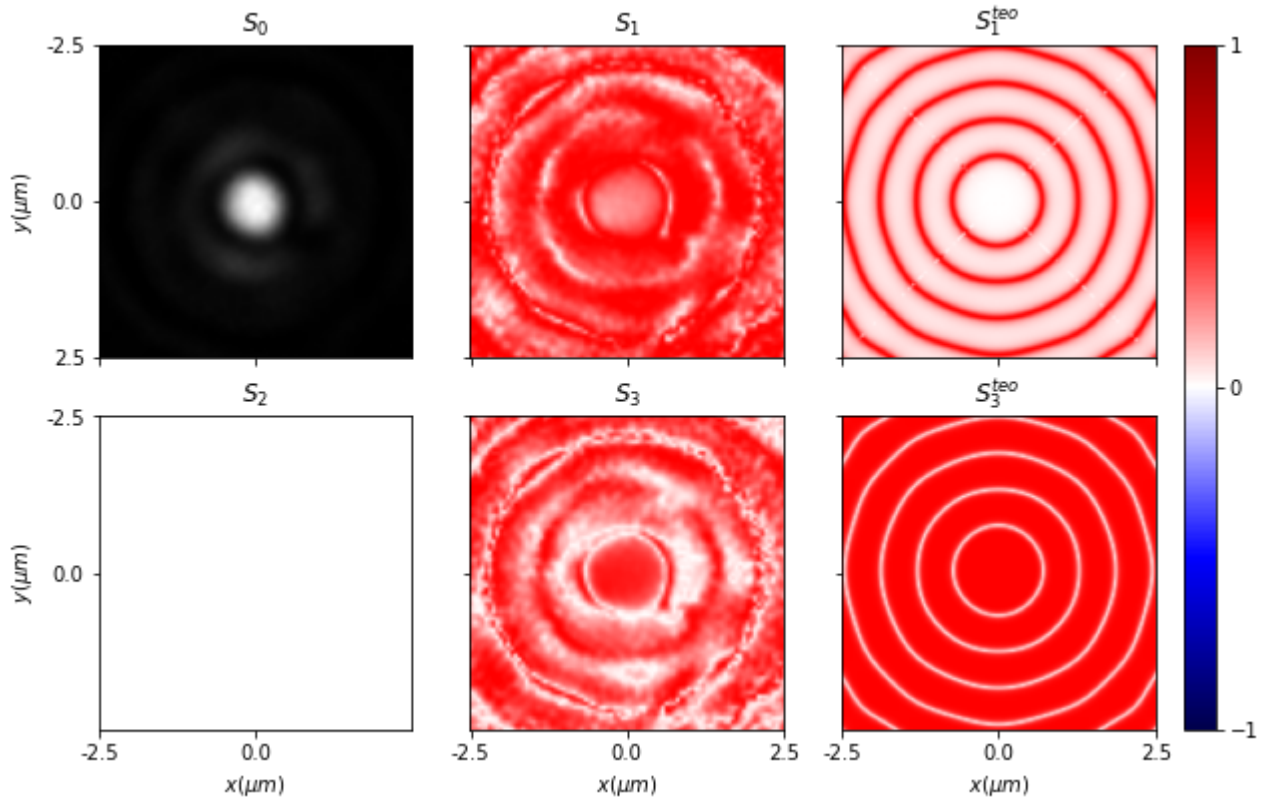


Figure 3: (Pol. Circular) Stokes 3D en la base PQ y comparativa con el resultado numérico

## 2. Campo incidente radialmente polarizado (sin singularidad central)

$$\vec{E}_S^{rad}(\theta, \varphi) = \frac{1}{\sqrt{2}} g_r(\theta) (\cos \varphi, \sin \varphi) \quad (15)$$

donde  $g_r(\theta) = g_c(\theta) \sin(\theta)$ , para evitar la singularidad.

A continuación mostramos el campo transversal en el plano focal para el caso de campo incidente radialmente polarizado

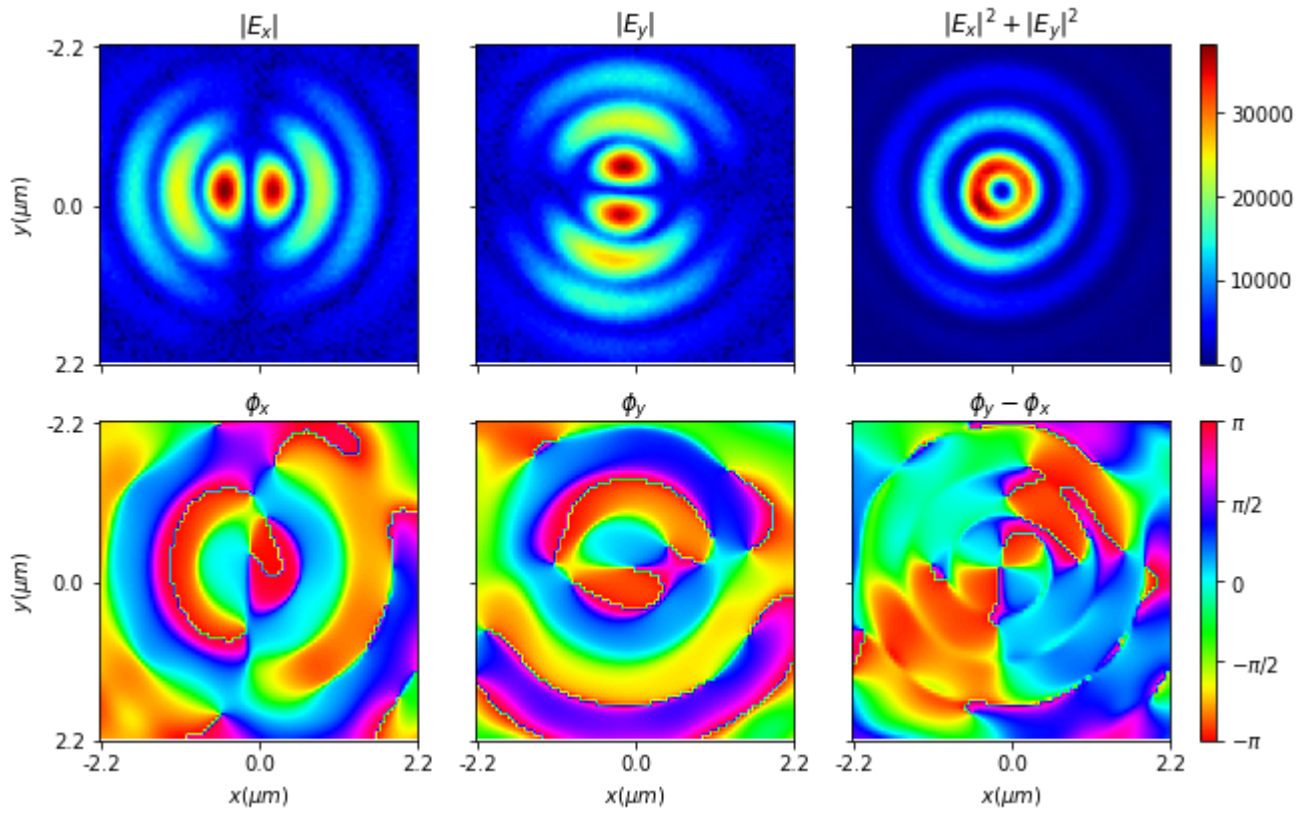


Figure 4: (Pol. Radial) Campo transversal en el plano focal, medido experimentalmente  
Se calcula la componente longitudinal del campo en el plano focal segun (14)

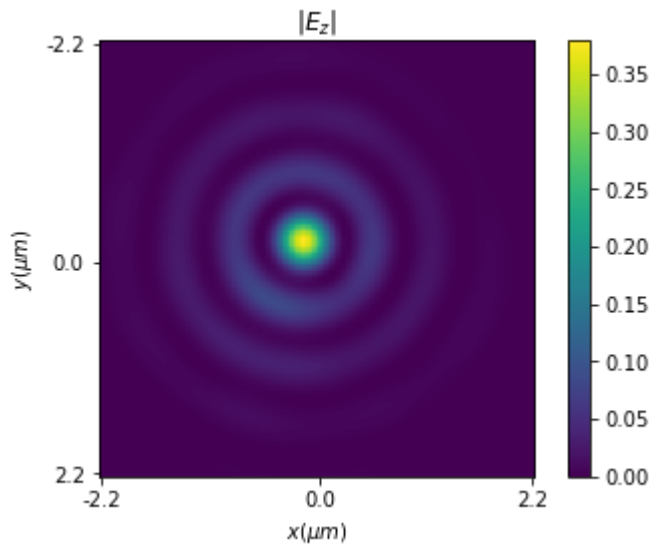


Figure 5: (Pol. Radial) Amplitud de la componente longitudinal en el plano focal.

Calculamos los parametros de Stokes segun las ecuaciones de (8) a (11) y mostramos los resultados en la siguiente figura

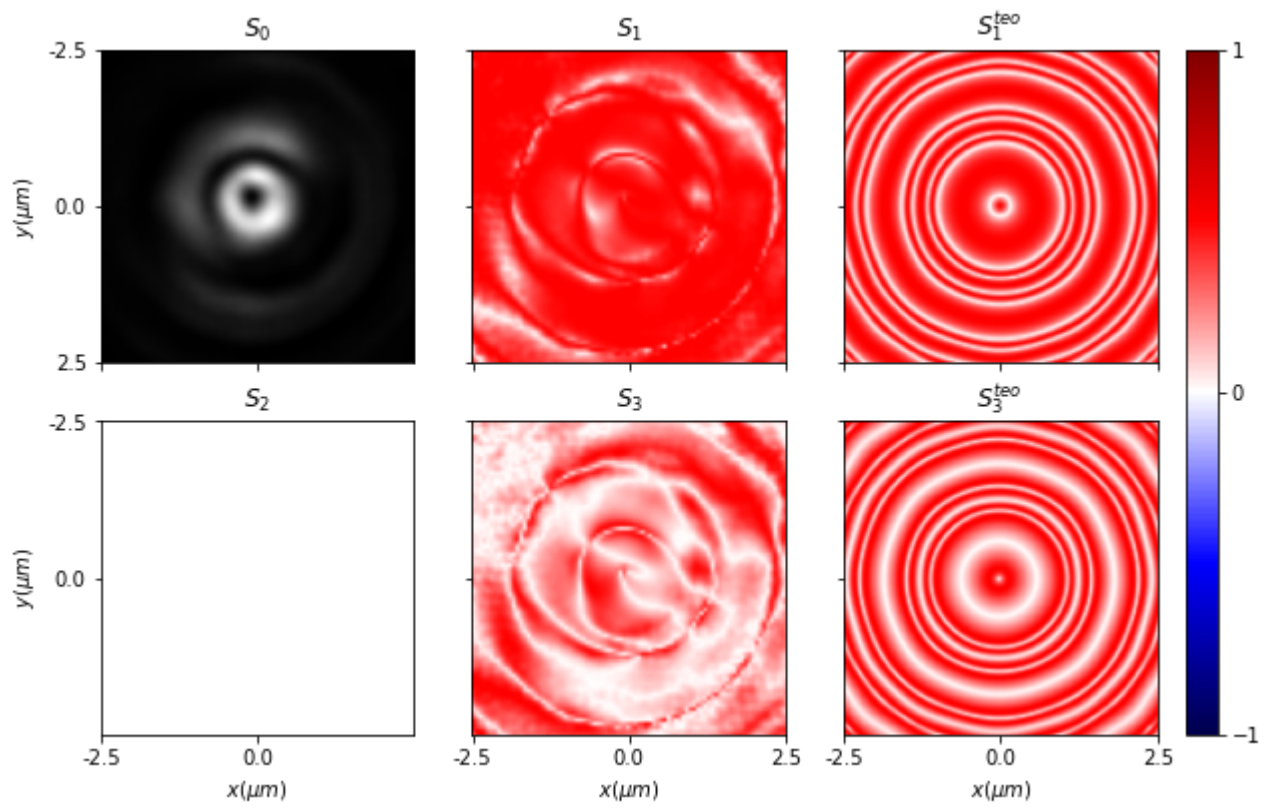


Figure 6: (Pol. Radial) Stokes 3D en la base PQ y comparativa con el resultado numérico